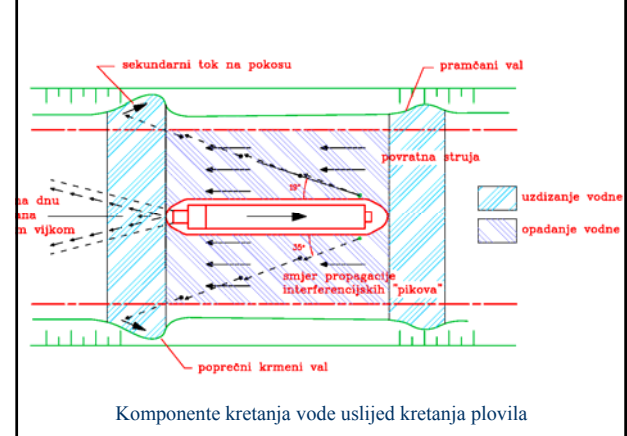


5.2 LOKALNA NESTABILNOST UZROKOVANA VALOVIMA I STRUJAMA

- Valovi generirani kretanjem broda
- Struje inducirane porivom brodskog vijka
- Sekundarni tok vode uzrokovan prolaskom broda
- Valovi generirani vjetrom

5.2.1 Opterećenje pokosa strujama uzrokovanim plovilima

- Pramčani val
- Poprečni krmeni val
- Sekundarni tok vode
- Struja inducirana brodskim vijkom (poriv)



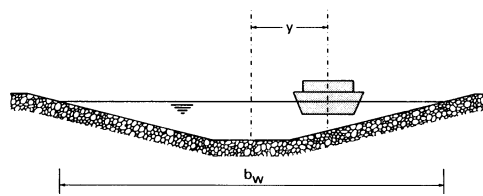
Za određivanje hidrauličkog opterećenja obalouvrde uzrokovanih plovilima, potrebno je definirati sljedeće veličine:

- Maksimalni ekscentricitet plovidbe
- Proračunsku maksimalnu brzinu plovidbe
- Mjerodavnu brzinu plovila
- Srednju brzinu povratne struje i srednje sniženje razine vode
- Maksimalnu povratnu struju i maksimalno sniženje razine vode
- Parametre poprečnog krmenog vala
- Parametre pramčanog vala
- Parametre sekundarnog vala
- Brzinu struje na dnu inducirane brodskim vijkom

Maksimalni ekscentricitet plovidbe y

$$0 < y < \frac{b_w}{3}$$

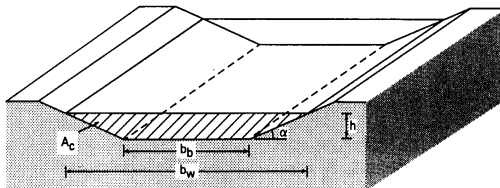
b_w - širina vodnog lica korita



U slučaju ekscentrične plovidbe, površina protočnog presjeka A_c se mora pri proračunima zamijeniti s vrijednošću A_{ci} (imaginarna površina protočnog presjeka) korištenjem sljedećeg izraza:

$$\frac{A_{ci}}{A_c} = 1 - c_2 \frac{y}{b_w - hcot\alpha}$$

potisni sastav	$c_2 = 0,4 \div 0,64$
motorna barža	$c_2 = 1,04 \div 1,28$



ECMT Class	Typical vessel
I	Motor vessel Spirits (3000) $39 \times 9.1 \times 2.4m$
II	Motor vessel Kamperveen (800) $55 \times 8.6 \times 2.5m$
III	Motor vessel Dredger - Eems Canal ship (1000) $67.8 \times 8.2 \times 2.6m$
IV	Motor vessel Rhine Hopper carrier (13500) $85 \times 9.5 \times 2.8m$
V	Motor vessel Large Rhine vessel (20000) $95 \times 11.5 \times 2.7m$
VI	Push tow unit (2 x 2250) $153 \times 11.4 \times 3.2m$ (Also navigable in IV and V)
	Push tow unit (2 x 2250) $75.5 \times 22.8 \times 3.2m$
	Push tow unit (4 x 2250) $75.5 \times 11.4 \times 3.2m$
	Push tow unit (8 x 2250)

8

Proračunska maksimalna brzina plovidbe v_L

Može se odrediti za poznati presjek kanala iz Schijfove jednadžbe:

$$\frac{v_L}{\sqrt{gh'}} = \left(\frac{2}{3} \right)^{\frac{3}{2}} \left(1 - \frac{A_m}{A_{ci}} + \frac{v_L^2}{2gh'} \right)^{\frac{3}{2}}$$

gdje su:

$$h' = \frac{A_{ci}}{b_w} \quad - \text{imaginarna dubina vode}$$

$$A_{ci} \quad - \text{imaginarna površina protočnog presjeka}$$

$$A_m \quad - \text{površina poprečnog omočenog presjeka plovila}$$

Mjerodavna brzina plovidbe v_s

Općenito, brzina plovila uzima se kao

$$v_s = 0,9v_L$$

Proračun srednje brzine povratne struje \bar{u}_r i srednjeg sniženja razine vode Δh

Dva su temaljna pristupa teoriji:

- energetski pristup (Schijf)
- pristup momenta (Bouwmeester, Sharp i Fenton)

Oba pristupa su upotrebljiva za plovila koja se kreću uzduž osi korita. U skladu s istraživanjima oba pristupa su primjenjiva za područje:

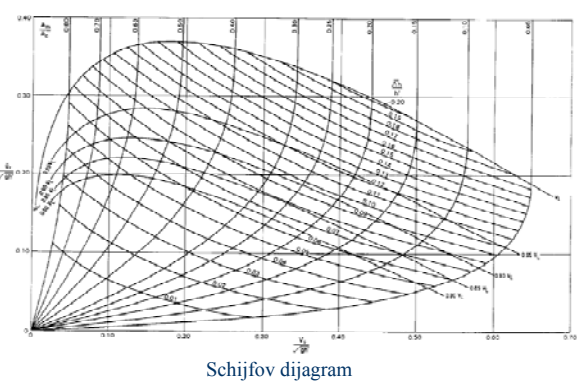
$$2 < \frac{b_w}{B_s} < 12$$

gdje je:

$$B_s \quad - \text{širina plovila}$$

Postupci Schijf-a te Sharp-a i Fenton-a daju usporedive rezultate. Oba postupka su preporučena posebno za opterećene potisne sastave. Za ostale tipove plovila preporuča se postupak Bouwmeestera.

Rješenje Schijfove jednadžbe moguće je pronaći pomoću dijagrama



Dijagram na prethodnoj slici se može koristiti za rješavanje sljedećih jednadžbi Schijfova energetskog postupka:

$$\Delta\bar{h} = \frac{v_s^2}{2g} \left[\alpha_1 \left(\frac{A_c}{A_w} \right)^2 - 1 \right]$$

$$A_c v_s = A_w (v_s + \bar{u}_r)$$

$$A_w = b_b (h - \Delta\bar{h}) + m(h - \Delta\bar{h})^2 - A_m$$

gdje je:

$$\alpha_1 = (1,4 \div 0,4) \frac{v_s}{v_L}$$

Proračun maksimalne brzine povratne struje \hat{u}_r i maksimalnog sniženja razine vode $\Delta\hat{h}$

Maksimalne vrijednosti brzine povratne struje i sniženja razine vode potrebno je odrediti za svaki tip plovila.

i. Potisna jedinica

$$\Delta\hat{h} = c_j \Delta\bar{h}$$

$$\hat{u}_r = c_j \bar{u}_r$$

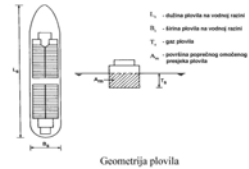
gdje je:

$$c_j = 1,2 + 5 \cdot 10^{-4} F_h^2 \frac{b_w}{y_r} \frac{L_s^2}{h\sqrt{A_w}}$$

gdje su:

$$F_h = \frac{v_s}{\sqrt{gh}} \text{ - Froudeov broj}$$

$y_r = 0,5b_w - y - 0,5h \cot \alpha$ - horizontalni razmak između osi plovila i obale
 L_s - duljina plovila (sl. 2.-4.)



Geometrija plovila

ii. Motorne barže

$$\text{za } \frac{b_w}{L_s} > 1,5; \quad \begin{cases} \Delta\hat{h} = \Delta\bar{h} \left(3 - 4 \frac{A'_c}{A_c} \right) \\ \hat{u}_r = \bar{u}_r \left(2,5 - 3 \frac{A'_c}{A_c} \right) \end{cases}$$

$$\text{za } \frac{b_w}{L_s} < 1,5; \quad \begin{cases} \Delta\hat{h} = \Delta\bar{h} \left(2 - 2 \frac{A'_c}{A_c} \right) \\ \hat{u}_r = \bar{u}_r \left(1,5 - \frac{A'_c}{A_c} \right) \end{cases}$$

gdje je:

A'_c - površina poprečnog presjeka kanala između osi plovila i obale
 $\Delta\bar{h}$ i \bar{u}_r su vrijednosti za plovidbu po sredini plovnog puta

iii. Remorker

$$\hat{u}_r = -1,33 + 7,86 F_h^{2,33} \left(\frac{A_m}{A_c} \frac{b_w}{y_r} \frac{L_s^2}{h\sqrt{A_c}} \right)^{0,17} \geq 0,4 \text{ [m/s]}$$

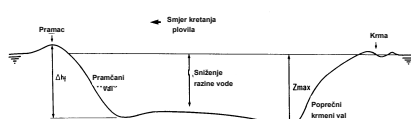
$$\Delta\hat{h} = -0,875 + 6,25 F_h^{2,67} \left(\frac{A_m}{A_c} \frac{b_w}{y_r} \frac{L_s^2}{h\sqrt{A_c}} \right)^{0,33} \geq 0,2 \text{ [m]}$$

Proračun parametara poprečnog krmenog vala

Visina poprečnog krmenog vala z_{max} može se uzeti:

$$z_{max} = \Delta\bar{h}$$

Strmost ovog vala ovisi o njegovoj visini, ali je ograničena vrijednošću između 0,1 i 0,15.



Profil granične vodne površine uslijed kretanja plovila

Proračun parametara pramčanog vala

Visina pramčanog vala Δh_f može se uzeti:

$$\Delta h_f = 0,1 \Delta\bar{h} + \Delta\hat{h}$$

Strmost pramčanog vala ovisi o njegovoj visini i ekscentritetu plovidbe, a može se uzeti $0,03\Delta h_f$

Proračun parametara sekundarnog vala

Sekundarni val nastaje interferencijom valova, a visina pikova na obaloutvrdi se odreduje kao

$$H_i = h \left(\frac{s}{h} \right)^{-0.33} F_h^4$$

gdje je s - udaljenost od boka plovila do obale.

Duljina sekundarnog vala odreduje se iz:

$$L_{w_i} = 0,67 \cdot 2\pi \frac{V_s^2}{g}$$

za $6,5 < h < 8,5 \Rightarrow F_h < 0,7$

Brzina struje na dnu inducirane brodskim vijkom u_b

$$u_b = \alpha_2 u_0 \frac{D_0}{z_b}$$

gdje su:

u_b - brzina struje na dnu

$$u_0 = 1,15 \left(\frac{P_o}{D_p^2} \right)^{0,33} \quad - \text{osna brzina}$$

α_2 - koeficijent koji varira između 0,25 i 0,75 ovisno o tipu broda i obliku kormila

z_b - vertikalni razmak osi vijka i dna

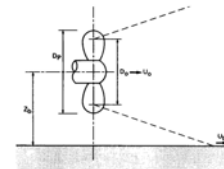
D_0 - inicijalni promjer struje vijka

D_p - za brodove s vijkom u mlaznicama

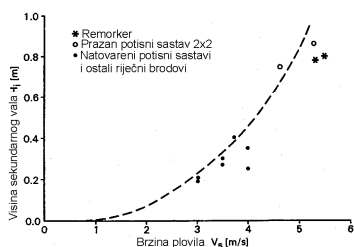
$D_0 = 0,7 D_p$ - za brodove bez mlaznice

P_o - promjer vijka

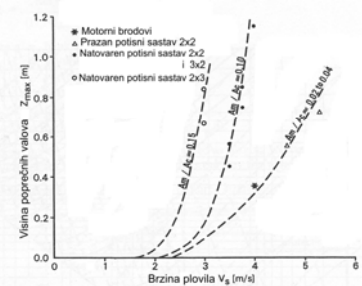
P_o - instalirana snaga motora u [kW]



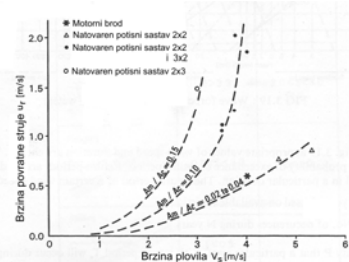
Mjerenja stvarnih veličina gibanja vode uzrokovanih prolaskom plovila na kanalu Hartel (Nizozemska)



Mjerenja stvarnih veličina gibanja vode uzrokovanih prolaskom plovila na kanalu Hartel (Nizozemska)



Mjerenja stvarnih veličina gibanja vode uzrokovanih prolaskom plovila na kanalu Hartel (Nizozemska)



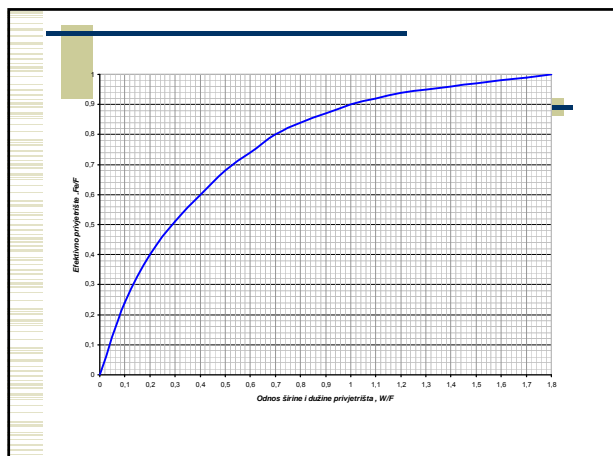
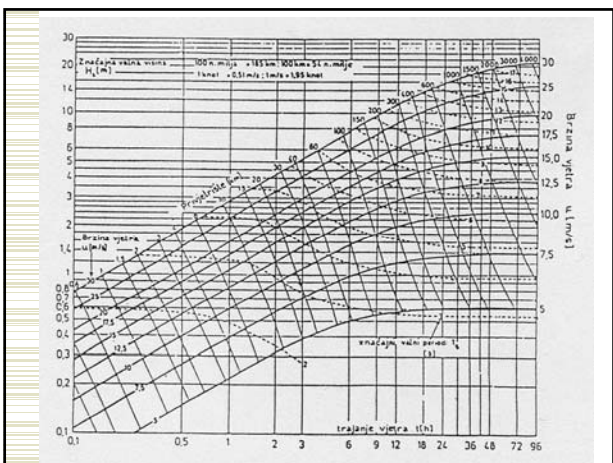
5.2.2 Opterećenje pokosa vjetrovim valovima

Osnovni valni parametri:

- valna visina H
- valni period T
- valna duljina L

Utjecajni faktori vjetrovih valova:

- brzina vjetra (jačina)
- duljina i oblik privjetrišta
- trajanje vjetra
- dubina vode



Nakon određivanja hidrauličkog opterećenja obalotvrde uzrokovanih plovilima, potrebno je dimenzionirati

- Na djelovanje poprečnog krmenog vala
- Na djelovanje sekundarnog vala
- Na djelovanje povratne struje
- Na djelovanje struje na dnu inducirane brodskim vijkom

5.2.3 Dimenzioniranje kamene obloge

Dimenzioniranje obloge ovisi o njenom tipu. Ukoliko se radi o oblozi od kamenog nabačaja, tzv. Rip-rap, tada je moguće koristiti obrasce za proračun dane u nastavku.

Za druge tipove obloga postupci su drugačiji i njihov razvoj je uglavnom vezan uz istraživanja proizvođača patentiranih sustava. Tako postoje obrasci za proračune veličine ispune gabionskih madraca, veličine betonskih blokova (uklještenih i povezanih) itd.

Pod dimenzioniranjem kamene obloge podrazumijeva se:

- odabir mjerodavnog promjera zrna
- granice granulometrije unutar kojih se treba naći sastav materijala za oblogu
- deblijina obloge

5.2.3.1 Odabir mjerodavnog promjera zrna kamene obloge

Poprečni krmeni val (Laboyrie):

$$D_{n50} \geq \frac{z_{\max}}{1.5(\cot \alpha)^{1/3} \cdot \Delta_m}$$

$$\Delta_m = \frac{\rho_s - \rho_w}{\rho_w}$$

31

Sekundarni brodski valovi (Verhey i Pilarczyk):

$$D_{n50} \geq \frac{H_i (\cos \beta)^{0.5}}{1.8 \cdot \Delta_m}$$

gdje je

$\beta = 55^\circ$ - kut propagacije vala u odnosu na obalu

Djelovanje povratne struje

$$D_{n50} \geq \frac{0.7 \cdot \hat{u}_r^2}{g \cdot \Delta_m \cdot k}$$

$$k = \cos \alpha \left(1 - \frac{\tan^2 \alpha}{\tan^2 \varepsilon_s} \right)^{0.5}$$

\hat{u}_r - maksimalna povratna struja ili maksimalna prirodna struja (ovisno koja je veća), [m/s]

ε_s - prirodni kut unutrašnjeg trenja kamene obloge

Djelovanje struje brodskog vijka

$$D_{n50} \geq \frac{1.3 \cdot u_b^2}{g \cdot \Delta_m \cdot k}$$

$$\Delta_m = \frac{\rho_s - \rho_w}{\rho_w}$$

$$k = \cos \alpha \left(1 - \frac{\tan^2 \alpha}{\tan^2 \varepsilon_s} \right)^{0.5}$$

Veličina zrna obloge za vjetrovne valove

$$d_{n50} \geq \frac{H^{\text{proj}} \sqrt{\xi}}{2.25 \cdot \Delta_m}$$

$$\xi = \frac{\tan \alpha}{\left(\frac{H^{\text{proj}}}{L_o} \right)^{1/2}}$$

$$\Delta_m = \frac{\rho_s - \rho_v}{\rho_v}$$

5.2.3.2 Granulacija kamene obloge

Raspodjela mase kamena odredena s tri karakteristične veličine mase W_{100} , W_{50} i W_{15} . Masa nazivnog zrna W_{50} određuje se iz izraza

$$W_{50\min} = \rho_s \cdot D_{50}^3$$

gdje su:

ρ_s [kg/m³] - gustoća mase kamena,

$W_{50\min}$ [kg] - minimalna vrijednost mase nazivnog zrna

Ostale karakteristične mase su odredene odnosima:

$$W_{50\max} = 1.5 \cdot W_{50\min}$$

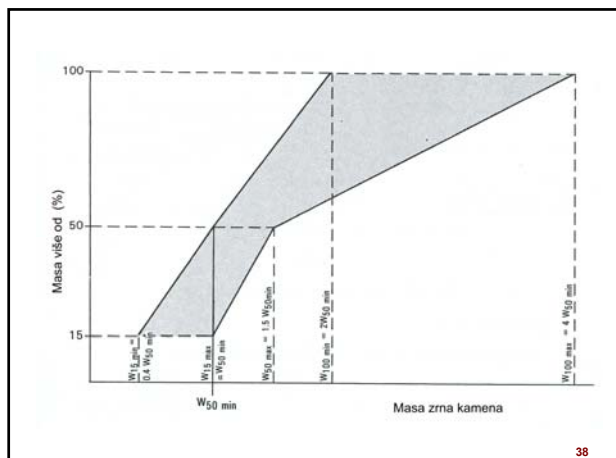
$$W_{100\min} = 2 \cdot W_{50\min}$$

$$W_{100\max} = 4 \cdot W_{50\min}$$

$$W_{15\min} = 0.4 \cdot W_{50\min}$$

$$W_{15\max} = W_{50\min}$$

37



38

5.2.3.3 Odabir debljine kamene obloge

Kamena obloga se uglavnom projektira u dva sloja. Tako da će debljina sloja d biti vezana uz promjer mjerodavnog zrna D_{n50} .

$$d = (1,5 \text{ do } 1,8) D_{n50}$$

Pri tome treba voditi računa da debljina oblage mora biti veća od promjera najvećeg zrna u granulaciji!

39